

تأثیر ماده پلیمری رزین پلی استر بر حدود اتربرگ و مقاومت تک محوری خاک بتنوئیت

حسین سلطانی جیقه^{۱*}، عبدالرضا ابری^۲، آیت اسدیان تراکمه^۳

- دانشیار گروه مهندسی عمران دانشکده فنی و مهندسی دانشگاه شهید مدنی آذربایجان
- استادیار گروه شیمی دانشکده علوم پایه دانشگاه شهید مدنی آذربایجان
- کارشناس ارشد مهندسی ژئوتکنیک گروه مهندسی عمران دانشکده فنی و مهندسی دانشگاه شهید مدنی آذربایجان

*hsoltani@azaruniv.ac.ir

تاریخ دریافت: ۱۳۹۹/۱۱/۱۸ تاریخ پذیرش: ۱۴۰۰/۱۲/۳

چکیده

افروزندهای متداول در ثبت خاک‌های مسئله‌دار، سیمان، آهک و غیره هستند که بیشتر پرهزینه و دارای مضررات زیست‌محیطی هستند. از جمله راهکارهای جدید، جایگزین کردن آنها با افزودنی‌های جدید مانند پلیمرها است. در این پژوهش، اثر رزین پلیمری پلی استر بر ویژگی‌های فیزیکی و مکانیکی خاک ریزدانه بتنوئیت با خمیری بالا با انجام آزمایش‌های حدود اتربرگ و تک‌محوری فشاری بررسی شد. نتایج نشان می‌دهند که افزودن مقادیر مختلف رزین پلیمری پلی استر موجب کاهش حد روانی، افزایش حد خمیری و به تبع آن کاهش دامنه خمیری خاک بتنوئیت می‌شود. همچنین این افزودنی مقاومت تک‌محوری خاک را چند برابر بهبود بخشیده و سبب کاهش تغییرشکل‌پذیری آن شده است. زیاد شدن مدت زمان عمل آوری سبب بهبود هرچه بیشتر این ویژگی‌ها نیز می‌شود. تحلیل تصاویر میکروسکوپ الکترونی، آنالیز XRD و طیف‌سنجی FTIR حاکی از آن است که این ماده در بین لایه‌های ساختار خاک نفوذ کرده و با ایجاد برهم‌کنش مؤثر باعث نزدیک شدن و چسبیدن لایه‌ها به یکدیگر شده و با جذب آب کمتر موجب بهبود ویژگی‌های خمیری و مقاومتی خاک شده است.

واژگان کلیدی: ثبت خاک؛ پلی استر؛ مقاومت تک‌محوری؛ عکس‌برداری الکترونی؛ آنالیز XRD؛ FT-IR.

که با کاهش شدید فضای خالی توده خاک، و با ایجاد چسبندگی و پیوستگی زیاد در ساختار، مقاومت و استحکام را بالا می برد. مضرات زیست محیطی و آثار آلاینده پلیمرها کم بوده و از نظر اقتصادی مفروض به صرفه هستند [12, 11].

پلیمرها اولین بار در سال ۱۹۹۲ در نروژ برای بازسازی خاکریز پایه پل استفاده شدند [13]. بررسی راج و همکاران نشانگر اثر مثبت پلیمرهای مایع در بهبود خواص رسنها است [12]. ستونی و همکاران دریافتند که مقاومت فشاری خاک تثبیت شده با پلیمرها بیشتر از مقاومت نمونه های شاهد است [14] اوزتاش و همکاران دریافتند که با افزایش درصد پلیمر پلی وینیل الکل، پایداری و مقاومت خاک ریزدانه زیاد می شود [15]. افزودن پلیمر اکریلیک محلول در آب به رس مقاومت تک محوری را زیاد کرده و نرخ بهبود با افزایش مقدار پلیمر و زمان عمل آوری افزایش می باید [16].

ال- خانباشی نشان داد با زیاد شدن مقدار امولسیون پلیمر استایرن اکریلیک، مقاومت و مدول الاستیستیته ماسه زیاد می شود [17]. افزودن کوپلیمر امولسیونی به رس، دانسیته خشک و مقاومت را بیشتر می کند [18]. تینگل و همکاران با افزودن امولسیون های پلیمری به ماسه سیلت دار، مقاومت تک محوری و سختی را افزایش دادند [19]. جورجس و همکاران با افزودن پلیمر پلی الکتروولیت به انواع رس، مقاومت و وزن مخصوص خشک را زیاد کردند [20]. پلیمر مایع BS-100 مقاومت خاک را در مدت زمان کم زیاد و احتمال ترک خوردگی را کاهش داد. عملکرد این ماده در برابر یخband و نفوذ آب خوب بوده و در جلوگیری از نشت و آسیب های موجود در نواحی سردسیر نقش خوبی دارد [21].

افزودنی های پلی استر رزین مصنوعی و غیر اشیاع هستند که از واکنش اسیدهای آلی دو عاملی و الكلهای چند عاملی تشکیل و در زنجیره اصلی خود گروه عاملی استر دارند [22]. پلی استرها به شکل مایع غلیظ بوده و پس از مخلوط با سخت کننده به حالت ژله ای درآمده و سخت می شوند. هنگام سفت شدن، مولکول ها به هم نزدیک شده و پلی استر سخت شده را نمی توان به حالت مایع برگرداند. برای آماده کردن پلی استر، با ماده شتاب دهنده مخلوط و به هم زده می شود و سپس ماده سخت کننده به آن افزوده می شود. زمان گیریش پلی استر به مقدار مواد شتاب دهنده و سخت کننده و دمای هوا بستگی دارد و با تغییر این عوامل می توان زمان گیریش را تنظیم

۱- مقدمه

خاک های رسی در حالت خشک مقاومت نسبتاً خوبی دارند، ولی با جذب آب به حالت خمیری درآمده، متورم شده و مقاومت و ظرفیت باربری آنها کاهش می باید. همچنین، ممکن است به دلیل نشست، تغییر شکل های مخرب در سازه های روی آنها یا خود سازه خاکی ایجاد شود. وجود چنین خاک های مسئله دار و نبود مصالح مناسب در محل، منجر به افزایش هزینه ساخت می شود. بنابراین، از دیدگاه اقتصادی، مهندسین سعی می کنند بیشینه استفاده را از مصالح محلی داشته باشند.

برای افزایش مقاومت، کترول خواص خمیری، نشست و تورم، خاک های مسئله دار با مواد افزودنی تثبیت می شوند تا بتواند بدون تغییر شکل های زیاد، بارهای وارد شده را تحمل نماید [1, 2]. مواد افزودنی متداول مانند سیمان، آهک و غیره آثار زیست محیطی نامطلوبی دارند [3, 4]. این آثار شامل آلودگی هوا و آب های زیرزمینی منطقه، از بین رفتن پوشش گیاهی و غیره هستند [5].

کارخانجات تولید سیمان و آهک از عوامل اصلی ایجاد گازهای گلخانه ای است. برای نمونه، انرژی لازم برای تولید یک تن سیمان پرتلند، یک تن دی اکسید کربن وارد اتمسفر می کند [6, 7]. هفت ۶/۹ درصد از دی اکسید کربن موجود در اتمسفر به دلیل تولید سالانه میلیارد تن سیمان در جهان است. علاوه بر آن، استخراج مواد خام در تولید سیمان، آهک و زغال سنگ برای تأمین سوخت موجب تشدید جنگل زدایی و از بین رفتن لایه های خاک می شود [8]. اضافه شدن بیش از حد آهک به خاک باعث می شود که مواد حاصل از واکنش ها به آب های زیرزمینی وارد شده و سبب آلودگی شوند. این آلاینده می تواند در اثر جریان آب های زیرزمینی متشر و عوارض مخرب بر حاصلخیزی خاک ایجاد و آلودگی محصولات کشاورزی شده و سلامتی موجودات زنده را به خطر بیندازد [5].

امروزه، استفاده از مواد افزودنی موادی مانند پلیمرها، نانو پلیمرها، نمک ها، رزین ها، چسب های طبیعی و غیره به دلیل هزینه و معایب کم، اجرای آسان تر و سازگاری بیشتر با محیط زیست در تثبیت خاک مورد توجه هستند [9]. از اولین تلاش ها برای کاهش استفاده از سیمان و آهک، جایگزین کردن مقداری از آنها با انواع ضایعات صنعتی و کشاورزی بودند. گزینه های بعدی محلول کلرید کلسیم و امولسیون قیر بودند [10]. به تازگی، مواد پلیمری و نانو پلیمری عرضه شده اند

به آن اضافه شده و کاملاً مخلوط شد. سپس ۲٪ درصد وزن رزین پلی استر، متیل اتیل کتون پروکسید ($C_8H_{18}O_6$) به عنوان سخت کننده افزوده شد.

۲-۳-آماده سازی و عمل آوری نمونه ها

افزودنی پلی استر با درصد های ۱/۰، ۲/۵، ۵/۰ و ۷/۵ و آب مقطر تا رسیدن به رطوبت بهینه به بتونیت اضافه شده و به مدت یک هفته داخل اتاق رطوبت با دمای 25°C عمل آوری شده، و آزمایش های حدود اتربرگ بر روی آنها انجام شد. بالا فاصله پس از اختلاط خاک و پلی استر، برای انجام آزمایش تک محوری، نمونه های استوانه ای با ۹۸ درصد وزن مخصوص خشک حداکثر و رطوبت بهینه منتظر متر acum شدند. قطر و ارتفاع نمونه ها به ترتیب ۵ و ۱۰ سانتی متر بودند و در زمان های ۷، ۱۴ و ۲۸ روز داخل اتاق رطوبت در دمای 25°C و رطوبت نسبی ۱۰۰ درصد عمل آوری شدند.

شکل ۱. منحنی دانه بندی خاک بتونیت استفاده شده

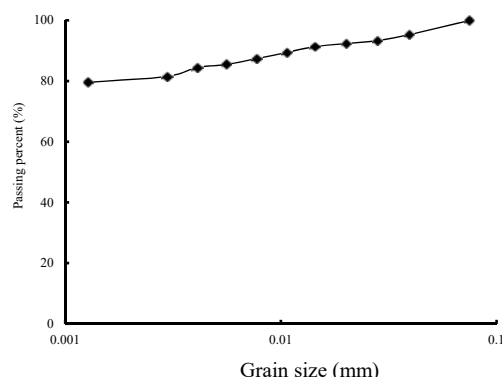


Fig.1. Grading curve of used bentonite soil.

جدول ۱. مشخصات پایه خاک بتونیت.

Property	Description
Finer than 0.075 mm	100
Liquid limit (%)	226
Plastic limit (%)	47
Plasticity index (%)	179
Optimum moisture (%)	42
Maximum dry density (kN/m^3)	12.20
Specific gravity	2.78
USCS classification	CH

Table 1. Index properties of bentonite soil

کرد [22]. آراسان و همکاران دریافتند که پلی استر در زمان کوتاه مقاومت ماسه را چند ده برابر زیاد و با افزایش زمان عمل آوری مقاومت بیشتر می شود [23].

هدف از این پژوهش، بررسی اثر رزین پلی استر بر ویژگی های خمیری و مقاومتی بتونیت است. برای این منظور، آزمایش های حدود اتربرگ و مقاومت فشاری تک محوری روی خاک بتونیت و بتونیت حاوی مقادیر مختلف رزین پلی استر انجام شد. همچنین برای ارائه مفاهیم چگونگی تأثیر این ماده بر خاک بتونیت، تصاویر SEM از نمونه ها تهیه شده و آنالیز XRD و FT-IR بر روی آنها انجام شد.

۲- مواد و روش ها

۲-۱- خاک

در این پژوهش، رس بتونیت، که حداقل ۸۵ درصد کانی های آن مونتموریلونیت است، استفاده شد [24]. بتونیت در محیط آبی ۷ تا ۲۰ برابر حجم خود آب جذب کرده و متورم می شود و به علت پیوندهای ضعیف و اندروالسی میان لایه های، لایه ها به راحتی روی یکدیگر می لغزند [25]. آزمایش های دانه بندی و هیدرومتری، حدود اتربرگ، تراکم پروکتور استاندارد و توده ویژه به ترتیب طبق روش های ASTM D4318-10، ASTM D422-63(2007)e2، ASTM D698-12e2 و ASTM D854-14 روی بتونیت انجام شد [26-29]. منحنی دانه بندی خاک در شکل (۱) و برخی مشخصات مهم آن در جدول (۱) ارائه شده است.

برای شناسایی عناصر عمده خاک آزمون طیف سنجی پراش انرژی پرتو ایکس (EDAX) انجام شد. ملاحظه شد که بتونیت استفاده شده شامل عناصر اکسیژن، سیلیسیوم، کلسیم، گوگرد، نیتروژن، آلومینیوم، سدیم، کلر و منیزیم با نسبت های مشخص و با فرمول عمومی $(\text{Na}, \text{CaO})(\text{Al}, \text{Mg})(\text{Si}_4\text{O}_{10})_3(\text{OH})_6\text{nH}_2\text{O}$ است و عنصر کلر و گوگرد ناخالصی آن هستند (شکل ۲).

۲-۲- ماده افزودنی

ماده پلیمری رزین پلی استر غیر اشباع با فرمول شیمیایی $(\text{C}_{10}\text{H}_8\text{O}_4)_n$ و با مشخصات جدول (۲) به عنوان ماده تثیت کننده خاک استفاده شد. برای آماده سازی ماده پلیمری، ابتدا به میزان ۱/۰٪ وزن پلیمر، محلول کمال نفتات ($\text{CoC}_{22}\text{H}_{14}\text{O}_4$) به عنوان شتاب دهنده واکنش

شکل ۲. آنالیز EDAX خاک بتنوئیت.

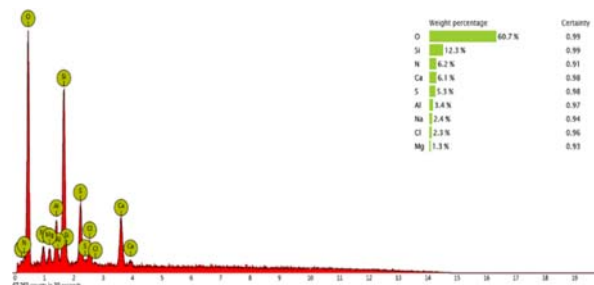


Fig. 2. EDAX analysis of bentonite soil

جدول ۲. مشخصات رزین پلی استر [30]

Property	Description
Appearance	Clear liquid
Type of resin	Unsaturated polyester resin
Viscosity (gr/cm ³)	380-480
Solid percent	63
Acid number	28
Hardness (kgf/mm ²)	> 37
Tensile strength	> 55 MPa
Flexural strength	> 100 MPa

Table 2. Properties of polyester resin [30].

۴-۲-آزمایش‌های انجام شده

۴-۲-۱-آزمایش‌های حدود اتربرگ

برای تعیین ویژگی‌های خمیری نمونه‌ها، یعنی حد روانی، حد خمیری و شاخص خمیری، آزمایش حدود اتربرگ طبق استاندارد ASTM D4318-10 روی بتنوئیت خالص و تثبیت شده انجام گرفت [27].

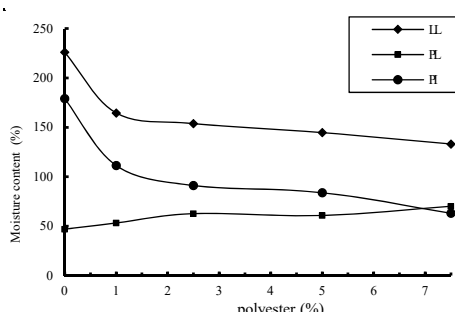
۴-۲-۲-آزمایش‌های فشاری تک محوری

آزمایش تک محوری طبق ASTM D2166M-16 با دستگاه سه محوری بدون فشار جانبی به صورت کنترل کرنش با نرخ بارگذاری ۰/۵ mm/min انجام شد [31].

۴-۳-آزمون طیف‌سنجی پرتو ایکس (XRD)

برای اندازه‌گیری میانگین فواصل بین لایه‌ها، تعیین موقعیت دانه‌ها، فهمیدن ساختار مواد ناشناخته و تعیین مشخصات ساختاری از قبیل اندازه و شکل ذرات نمونه‌ها از روش پراش پرتو ایکس بهره گرفته شد.

شکل ۳. اثر رزین پلی استر بر حدود اتربرگ خاک بتنوئیت.



از دید مقاومت نمونه ها می شود، لیکن با افزایش زمان عمل آوری مقاومت با شیب ملایمی زیاد می شود؛ یعنی اینکه ماده پلی استر در مدت زمان کم اثر خود را در بهبود مقاومت نشان داده است.

۳-۵- تغییر شکل پذیری

تغییرات مدول تغییر شکل سکانت (E_{50}) نمونه ها مطابق شکل (۶) نشان داد که با افزایش درصد پلی استر، مدول تغییر شکل روند افزایشی دارد. با طولانی شدن زمان عمل آوری شکل پذیری نمونه ها کم شده و نمونه ها با وجود مقاومت فشاری بالا حالت تردتری نسبت به بتونیت خالص دارند.

شکل ۴. منحنی های تنش- کرنش نمونه ها پس از مدت زمان عمل آوری:
الف) ۷ روزه، ب) ۱۴ روزه و ج) ۲۸ روزه.

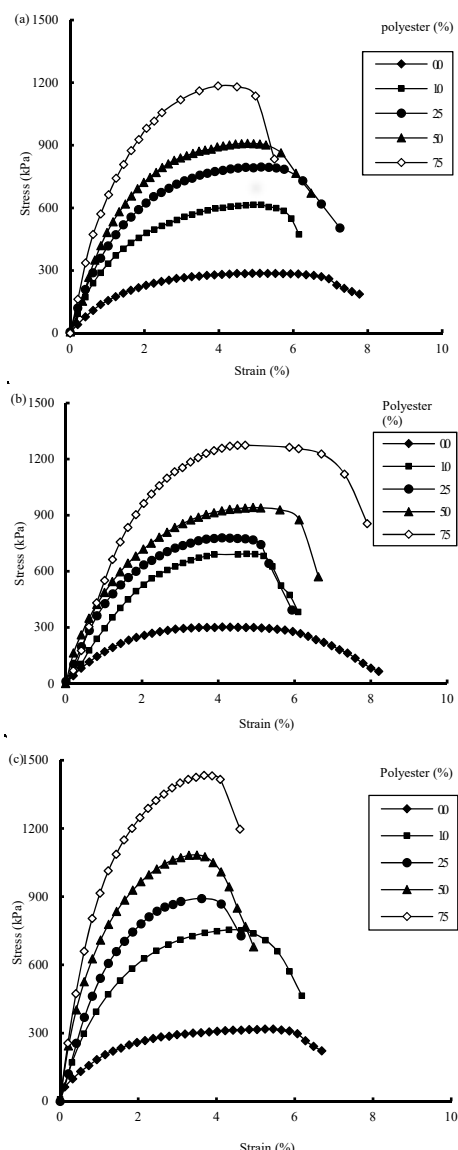


Fig. 3. Effect of polyester resin on the Atterberg limits of bentonite soil.

۳-۳- آزمایش های فشاری تک محوری

نتایج آزمایش های تک محوری به صورت نمودارهای تنش- کرنش، تغییرات مقاومت، تغییر شکل پذیری و چگونگی گسیختگی بر حسب مقدار افزودنی در زمان های عمل آوری مختلف در دمای ۲۵ درجه سانتی گراد برای نمونه های ارائه خاک می شود.

۳-۳- منحنی های تنش- کرنش

نمودار تنش- کرنش نمونه ها در زمان های عمل آوری ۷، ۱۴ و ۲۸ روز در شکل (۴) آمده است. با افزایش میزان پلی استر مقاومت نمونه ها بیشتر و کرنش گسیختگی آنها کمتر شده است و رفتار خاک ترد و شکننده تر شده است. همچنین با بیشتر شدن مدت زمان عمل آوری، مقاومت خاک های تثبیت شده به مرتبه زیاد شده است.

۴- مقاومت فشاری تک محوری

تغییرات مقاومت فشاری تک محوری خاک با مقدار افزودنی، در زمان های عمل آوری مختلف در شکل (۵) آمده است. با افزودن ۱/۰، ۲/۵، ۵/۰ و ۷/۵ درصد پلی استر به بتونیت، پس از ۷ روز عمل آوری، مقاومت خاک از ۲۹۸ کیلوپاسکال به ترتیب به ۵۹۶، ۷۷۸، ۹۰۹ و ۱۱۶۴ کیلوپاسکال رسیده است. پس از ۱۴ روز، مقاومت از ۳۱۳ کیلوپاسکال به ترتیب به ۷۱۲، ۸۰۳، ۹۷۴ و ۱۲۸۱ کیلوپاسکال و در عمل آوری ۲۸ روز، از ۳۰۹ کیلوپاسکال به ترتیب به ۷۳۴، ۸۷۶، ۱۱۰۷ و ۱۳۹۴ کیلوپاسکال رسیده است. یعنی اینکه افزودن ۱/۰، ۲/۵، ۵/۰ و ۷/۵ درصد پلی استر به بتونیت، مقاومت تک محوری را در مدت زمان ۷ روز عمل آوری به ترتیب تا ۱۰۰٪، ۱۶۴٪، ۲۰۵٪ و ۲۹۱٪ در مدت زمان ۱۴ روز عمل آوری به ترتیب تا ۱۲۷٪، ۱۵۶٪، ۲۱۱٪ و ۳۰۹٪ و در مدت زمان عمل آوری ۲۸ روز نیز به ترتیب تا ۱۳۷٪، ۱۸۳٪، ۲۵۸٪ و ۳۵۰٪ افزایش داده است.

نرخ افزایش مقاومت تا ۱/۰ درصد پلی استر با شیب تند و بعد از آن تا ۷/۵ درصد افزودنی، با شیب کمتری زیاد می شود. یعنی اینکه افزایش چند برابری پلی استر منجر به افزایش چند برابری مقاومت نمی شود. طولانی بودن زمان عمل آوری منجر به

افزایش مقاومت و کاهش ویژگی‌های خمیری بتنوئیت می‌باشد. با گذشت زمان عمل آوری تغییرات ایجاد شده مشهودتر است.

۳-۸- آفالیز طیف‌سنجی پراش پرتو ایکس

نتایج آزمون طیف‌سنجی پراش پرتو ایکس بتنوئیت خالص و تثبیت شده، در زمان‌های عمل آوری ۱۴، ۷ و ۲۸ روز در شکل (۹) آمده است. در هر سه زمان عمل آوری، طیف‌های شاخص نمونه خالص در زوایای $2\theta = 9^\circ, 20^\circ, 23^\circ, 27^\circ, 28^\circ, 30^\circ, 36^\circ$ و در نمونه‌های تثبیت شده با $2/5$ و 5 درصد پلی استر در زوایای $2\theta = 20^\circ, 23^\circ, 27^\circ, 30^\circ, 36^\circ, 54^\circ, 62^\circ$ به کل حذف شده است. تغییرات نشانگر نزدیک شدن پیک‌های شاخص نمونه‌های تثبیت شده دارای شدت‌های کم و حالت پهن‌تری نسبت به نمونه خالص دارند و پیک زاویه $2\theta = 9^\circ, 29^\circ$ به کل حذف شده است. تغییرات نشانگر نزدیک شدن لایه‌های خاک به هم هست که سبب افزایش مقاومت شده است. در نمونه‌های تثبیت شده، پیک جدیدی ایجاد نشده و بیانگر عدم تشکیل ساختار جدید در خاک است.

۳-۹- آزمون تبدیل فوریه مادون قرمز

طیف‌های مادون قرمز مطابق شکل (۱۰) نشان می‌دهند که بین بتنوئیت و پلی استر برهم‌کنش مؤثری صورت گرفته و این ماده با نفوذ در ساختار خاک سبب افزایش مقاومت شده است. پیک‌های ایجاد شده در ناحیه مابین 3400 cm^{-1} تا 3600 cm^{-1} مربوط به حضور آب در ساختار خاک می‌باشد که گروه عاملی (H-O) در ناحیه $3447/55 \text{ cm}^{-1}$ خود را نشان داده است. گروه عاملی کربونیل ($\text{C=O}-$)، که پیک شاخصه مربوط به پلی استر می‌باشد، در ناحیه 1650 cm^{-1} تا 1750 cm^{-1} خود را نشان می‌دهد که در خاک تثبیت شده با $2/5$ و $5/0$ درصد پلی استر به ترتیب در نواحی $1734/7 \text{ cm}^{-1}$ و $1728/98 \text{ cm}^{-1}$ ایجاد شده است. شدت این پیک در نمونه با افزودنی زیاد بیشتر می‌باشد. به طوری که شدت آن در $2/5$ و $5/0$ درصد پلی استر به ترتیب 47% و 47% است و نشانگر مشارکت بیشتر پلی استر در ساختار خاک است.

Fig. 4. Stress-strain curves of specimens after curing time of: a) 7 days, b) 14 days, and c) 28 days.

شکل ۵. اثر افزودنی پلی استر بر مقاومت تک‌محوری بتنوئیت.

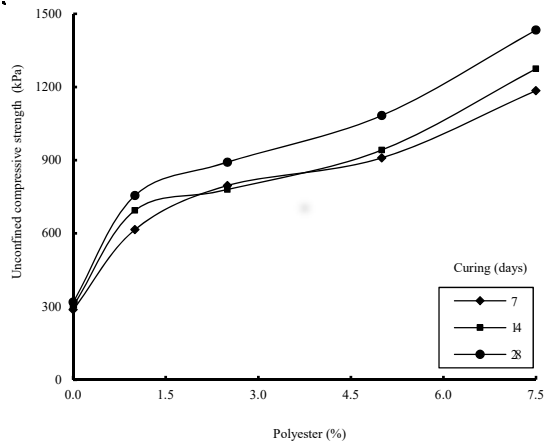


Fig. 5. Effect of polyester stabilizer on unconfined strength of bentonite soil.

شکل ۶. اثر ماده پلی استر بر مدول تغییرشکل بتنوئیت.

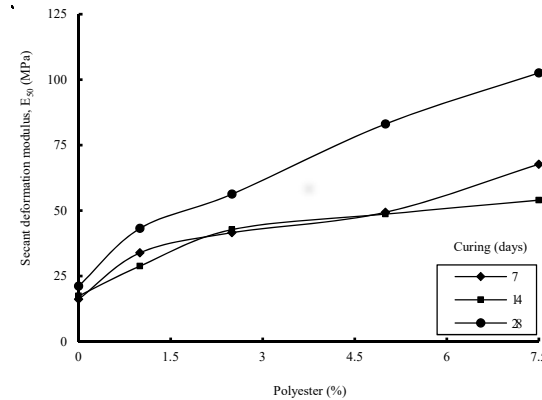


Fig. 6. The Effect of polyester material on deformation modulus of bentonite.

۳-۷- تصاویر میکروسکوپی روبشی (SEM)

تصاویر میکروسکوپی نمونه‌ها مطابق شکل (۸) نشان می‌دهند که ساختار بتنوئیت صفحات نازک لایه‌لایه بوده و بین آنها حفرات ریز و درشتی وجود دارند، ولی ساختار نمونه تثبیت شده با پلی استر، از حالت لایه‌ای به فولوکوله درآمده و به ساختار خاک‌های درشت‌دانه نزدیک‌تر شده است. یعنی افزودن پلی استر باعث چسیدن ذرات ریز خاک به هم و بزرگ شدن اندازه آنها شده است. همچنین، حفرات ریز بین ذرات پر شده و تعداد آنها کاهش یافته، ولی اندازه حفرات بین دانه‌های درشت بزرگ‌تر شده است. تغییر ساختار از حالت لایه‌لایه به دانه‌ای شکل از عوامل

stabilized with 5% polyester cured 14 and 28 days respectively

شکل ۹. نتایج آنالیز XRD بتنونیت خالص و تثبیت شده در زمان های عمل آوری: (الف) ۷ روز، (ب) ۱۴ روز و (ج) ۲۸ روز.

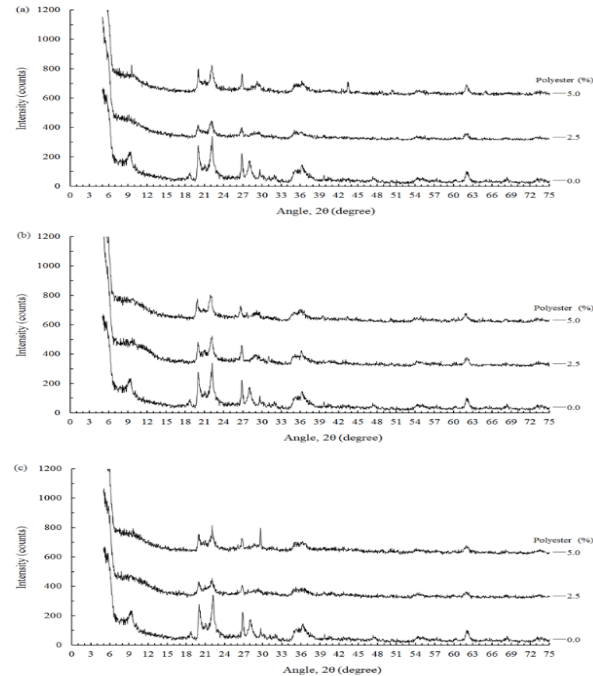


Fig. 9. Results of XRD analysis of pure and stabilized bentonite after curing time of: a) 7 days, b) 14 days, and c) 28 days.

شکل ۱۰. نتایج آزمون طیف‌سنجی FT-IR نمونه‌ها پس از ۲۸ روز عمل آوری: (الف) بتنونیت خالص، (ب) بتنونیت حاوی ۲/۵٪ پلی استر و (ج) بتنونیت حاوی ۵٪ پلی استر.

شکل ۷. چگونگی گسیختگی نمونه‌های: (الف) تثبیت نشده، و (ب) تا ر تثبیت شده به ترتیب با ۱/۰، ۲/۵، ۵/۰ و ۷ درصد پلی استر.

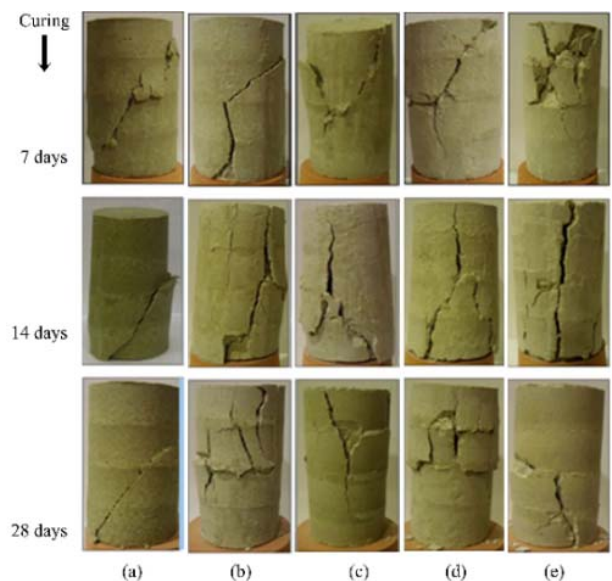


Fig. 7. Failure mechanism of samples cured at different times: a) pure bentonite, and b-e) bentonite stabilized with 1.0, 2.5, 5.0 and 7.5 percent polyester resin respectively.

شکل ۸ تصاویر میکروسکوپی رویشی با بزرگنمایی‌های ۵ و ۱۰ میکرومتر برای نمونه‌های: (الف) تثبیت نشده، (ب) و (ج) به ترتیب بتنونیت تثبیت شده با ۰.۵٪ پلی استر در زمان‌های عمل آوری ۱۴ و ۲۸ روز.

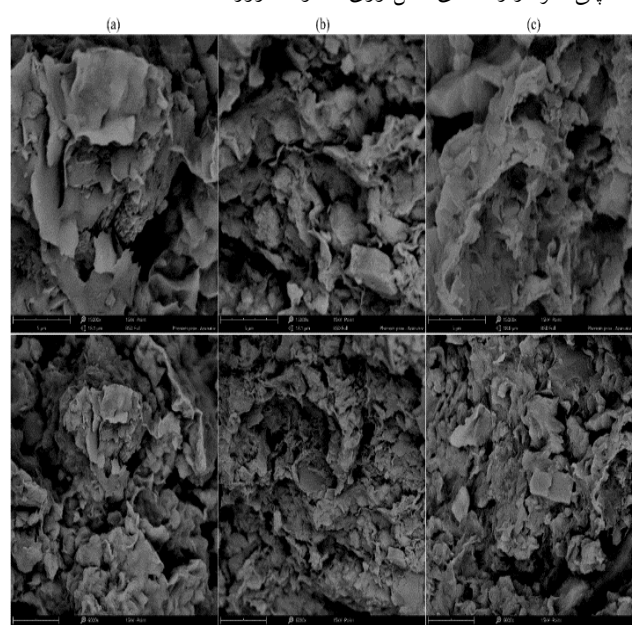


Fig. 8. Field microscopic images with different magnifications: a) pure bentonite; b) and c) bentonite

۵- تشكر و قدردانی

این پژوهش با حمایت مالی دانشگاه شهید مدنی آذربایجان انجام شده است. به این وسیله از همه مسئولین دانشگاه تشكر و قدردانی می شود.

۶- منابع و مراجع

- [1] Cherian R.A. & Shyla Joseph, A. 2017 A comparative study on the influence of traditional, non-traditional and by-product stabilizers on geotechnical properties of Kuttanad clay. *International Research Journal of Engineering and Technology (RJET)*, **4**(3), 2521-2536.
- [2] Zarei Y., Nikoodel M.R. & Orumiyei A. 2011 Study and comparison of the effect of cement and lime addition on strength properties of soft clay soils in Mahshahr port in saturated conditions. *6th National Congress of Civil Engineering*, Semnan, Semnan University (In Persian).
- [3] Wallace A., Wallace G.A. & Abouzamzam A.M. 1986 Amelioration of sodic soils with polymers. *Soil Science*, **141**(5), 359-362.
- [4] Cheshomi A., Eshaghi A. & Hassanpour J. 2017 Effect of lime and fly ash on swelling percentage and Atterberg limits of sulfate-bearing clay. *Applied Clay Science*, **135**, 190-198.
- [5] Budaghpoor S. & Kalhor K. 2014 Stabilization of lime soils using its lime and its environmental and economic impacts. *The First National Conference on Soil Mechanics and Pioneering Engineering*, Tehran Shahid Rajaee Teacher Training University, Tehran, Iran (In Persian).
- [6] Fenjanchi M. 2014 Environmental impact assessment of Sufian cement factory and determination of effective strategies for reducing environmental pollution in the cement industry of Iran. *7th National Conference and Specialized Exhibition of Environmental Engineering*, Faculty of Environment, University of Tehran, Tehran, Iran (In Persian).

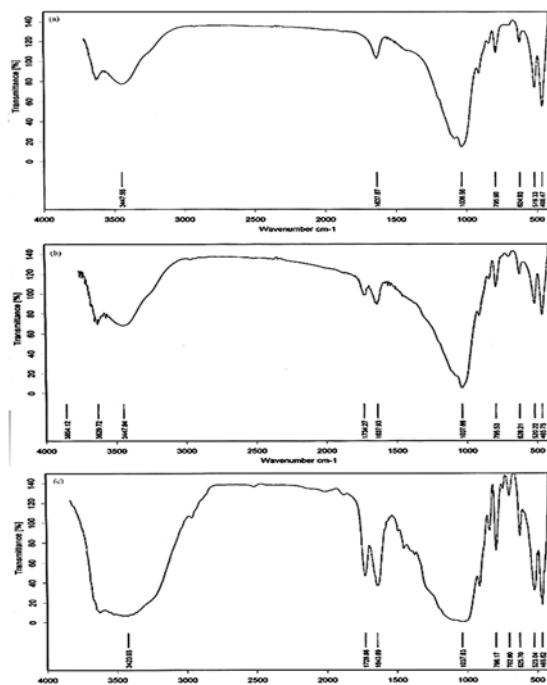


Fig. 10. Results of FTIR spectroscopy of bentonite after 28 days curing: a) pure bentonite, b and c) stabilized with 2.5% and 5.0% polyester resin respectively.

۴- نتیجه گیری

در این پژوهش، اثر ماده پلیمری پلی استر بر حدود اتربرگ و مقاومت تکمحوری خاک بتونیت بررسی شد و اهم نتایج حاصل از این پژوهش شامل موارد زیر است:

- افزودن پلی استر به بتونیت سبب کاهش حد روانی و افزایش حد خمیری شده و به تبع آن دامنه خمیری کم می شود. مقدار کاهش حد روانی و دامنه خمیری نمونه های حاوی ۷/۵ درصد پلی استر به ترتیب حدود ۰.۴۱٪ و ۰.۶۵٪ است.

- افزودن رزین پلی استر مقاومت تکمحوری بتونیت را افزایش داده و نرخ افزایش به مقدار افزودنی و زمان عمل آوری بستگی دارد. ماده پلی استر در مدت زمان کم اثر خود را در بهبود مقاومت نشان داده و گذشت زمان باعث بالا رفتن مقاومت نمونه ها شد.

- وجود رزین پلی استر تغییر شکل پذیری بتونیت را کاهش می دهد، و نمونه ها با وجود مقاومت فشاری بالا حالت تردتری نسبت به بتونیت خالص دارند.

- علت بهبود ویژگی های خمیری و مقاومت خاک تثبیت شده این است که رزین پلی استر در بین لایه های ساختار خاک نفوذ کرده و با ایجاد برهم کنش مؤثر باعث می شود لایه ها به هم نزدیک شده یا به یکدیگر بچسبند.

- Transportation Agency, Tehran, Iran (In Persian).
- [17] Al-Khanbashi A. and El-Gamal M. 2003 Modification of sandy soil using water borne polymer. *Journal of Applied Polymer Science*, **88**(10), 2484-2491.
- [18] Farzi Gh.A. & Nasirian N. 2015 Study the effect of Methyl Methacrylic emulsion copolymer-Acrylic Butyl on mechanical properties of clayey soil. *2st National Conference on Soil Mechanics and Foundation Engineering*, Qom, Iran, 14-15 (In Persian).
- [19] Tingle J.S., Larson S.L., Weiss C.A., Newman J.K. & Peters J.F. 2004 Constitutive analyses of nontraditional stabilization additives. No. ERDC-TR-04-5.
- [20] Georges R.N., Hassan R.A., Evans R.P. & Jegatheesan P. 2015 Effect of the use of a polymeric stabilizing additive on unconfined compressive strength of soils. *Transportation Research Record: Journal of the Transportation Research Board*, (2473), 200-208.
- [21] Chen Y., Dai W.T. & Wang L. 2010 Test study on road performance of soils stabilized by liquid stabilizer in seasonally frozen regions. In *ICCTP: Integrated Transportation Systems: Green, Intelligent, Reliable*, 3245-3252.
- [22] Richardson T.L. & Lokengard E. 2004 Industrial plastics: Theory and applications. *Cengage Learning*.
- [23] Arasan S., Isik F., Akbulut R.K., Zaimoglu A.S. & Nasirpur O. 2015 Rapid stabilization of sands with deep mixing method using polyester. *Periodica Polytechnica. Civil Engineering*, **59**(3), 405-411.
- [24] Shadi K. 2012 Bentonite of soil with thousands of uses. *Art Ganj Publishing*, Tehran (In Persian).
- [25] Hosterman J.W. & Patterson S.H. 1992 Bentonite and fuller's earth resources of the United States. *U.S. Geological Survey Bulletin*, 1522, 45 p.
- [26] ASTM D422-63(2007)e2. 2007 Standard Test Method for Particle-Size Analysis of Soils (Withdrawn 2016), ASTM International, West Conshohocken, PA.
- [27] ASTM D4318-10e1. 2010 Standard Test Methods for Liquid Limit, Plastic Limit, and
- [7] Malhotra V.M. 1999 Making concrete "greener" with fly ash. *Concrete International*, **21**(5), 61-66.
- [8] Shakrkhizadeh M. 2001 Reducing the environmental impact of concrete. *Quarterly Journal of Iranian Concrete Institute*, **5**, 18-24.
- [9] Latifi N., Marto A. & Eisazadeh A. 2016 Physicochemical behavior of tropical laterite soil stabilized with non-traditional additive. *Acta Geotechnica*, **11**(2), 433-443.
- [10] Scholen D.E. 1995 Stabilizer in nonstandard stabilizers. In: *Proceeding of 6th International Conference on Low-Volume Roads*, 2, TRB, National Academy Press, June 25-29, Washington, mechanisms DC, 252-260.
- [11] Abadjieva T. 2001 Chemical stabilization for low cost roads in Botswana", In: *Proceeding of First Road Transportation Technology Transfer Conference in Africa*, Arusha, Tanzania, 409-414.
- [12] Rauch A.F., Harmon J.S., Katz I. & Liljestrand H.M., 2001 Liquid soil stabilizer: Measured effects on engineering properties of clay" In: *Proceedings of 81th Annual Transportation Board Meeting*, Washington, DC, 33-41.
- [13] Zandieh A.R. & Yasrobi S.S. 2007 Study of factor affecting the compressive strength of sandy soil stabilized with polymer. *Department of Civil Engineering, Tarbiatmodares University*, Tehran, Iran (In Persian).
- [14] Santoni R.L., Tingle J.S. & Nieves M. 2005 Accelerated strength improvement of silty sand with non-traditional additives. *Transportation Research Record: Journal of the Transportation Research Board*, No. 1936, Transportation Research Board of the National Academies, Washington, D.C., 34-42.
- [15] Oztas T., Ozbek A. & Aksakal L. 2002 Structural developments in soil treated with polyvinyl alcohol. *Proceedings of the International Conference on Sustainable Land Use and Management*. Soil Sci. Soc. of Turkey Int. Symp. 143-148.
- [16] Abootalebi-Esfahani M. and Ataee M. 2016 Improving the properties of road bonding with polymer. *8th Conference on Asphalt and Asphalt Mixes*, Road, Housing & Urban Development Research Holder, Road

Plasticity Index of Soils, ASTM International, West Conshohocken, PA.

- [28] ASTM D698-12e2. 2012 Standard Test Methods for Laboratory Compaction Characteristics of Soil Using Standard Effort (12,400 ft-lbf/ft³ (600 kN-m/m³)), ASTM International, West Conshohocken, PA.
- [29] ASTM D854-14. 2014 Standard Test Methods for Specific Gravity of Soil Solids by Water Pycnometer, ASTM International, West Conshohocken, PA.
- [30] Bonyan Kala. 2014 Technical Information Unsaturated polyester resin BUP 612", (<http://www.bonyankala.com>) Site of the manufacturer of the product.
- [31] ASTM D2166M-16. 2016 Standard Test Method for Unconfined Compressive Strength of Cohesive Soil, ASTM International, West Conshohocken, PA.

Effect of Polyester Polymer Resin on Atterberg Limits and Unconfined Strength of Bentonite Soil

Hossein Soltani-Jigheh¹, Abdolreza Abri², Ayat Asadiyan Tarakomeh³

1. Associate Professor, Department of Civil Engineering, Faculty of Engineering, Azarbaijan Shahid Madani University
2. Assistant Professor, Chemical Department, Faculty of Basic Sciences, Azarbaijan Shahid Madani University
3. Master in Geotechnical Engineering, Department of Civil Engineering, Faculty of Engineering, Azarbaijan Shahid Madani University

Abstract

Fine-grained soils consist of high content clay minerals generally have high strength in dry state, but they loss their strength when they absorb water as well as they may be swell. These phenomenon may lead to damage the structures located on them and it is required to stabilize these soils with different additive materials. Common additives for stabilization of fine-grained problematic soils are cement, lime, fly ash, etc., which are almost costly and have environmental consequences. Nowadays, non-traditional materials such as polymeric additives were added to the soils in order to their stabilization. In this research, the effect of polyester polymer resin on the physical and mechanical properties of fine-grained bentonite soil, with liquid limit and plasticity index of 226% and 179% respectively, was studied by performing Atterberg limits and unconfined strength tests. For this purpose, a polyester polymer resin were added to the bentonite soil with various amount of 1.0, 2.5, 5.0, and 7.5 percent in dry weight. Soil mixtures were cured about 7 days and Atterberg tests were performed on them. Moreover, cylindrical specimens with 50 mm in diameter and 100 mm in height were prepared and cured during 7, 14 and 28 days. Soil specimens compacted in a splitted steel mold at four equal thickness layers. Then, the unconfined compression tests were carried out on these specimens with loading rate of 0.5 mm/min. The results of Atterberg tests indicated that the addition of polyester polymer resin reduces liquid limit and increases plastic limit of bentonite soil and consequently it is led to decrease in plasticity index of the soil. Maximum decrements in liquid limit and plasticity index observed in treated soil with 7.5 percent polyester, which are about 41.0 and 65.0 percent respectively. In addition, the polyester resin improves the unconfined compressive strength of the soil and the rate of increment is high when the polyester amount rises from 0 to 7.5%. It was revealed that the polyester resin influences the unconfined strength considerably in a short time. For example, adding 5.0 percent polyester polymer resin to bentonite soil improves the strength up to 2.05, 2.11 and 2.58 times respectively after curing times of 7, 14 and 28 days. It also means that after 7 day curing time the improvement effect of stabilizer is considerable and by passing time its effect diminishes. Moreover, adding polyester polymer resin to the soil decreases deformability of soil; it means that this additive causes the treated soil exhibits more brittle behavior rather than the pure soil. The photos of specimen after failure explain that failure surface of pure bentonite is inclined in relation with horizontal, while it tends to vertical direction in treated specimens. Analysis of SEM images, XRD analysis and FTIR spectroscopy suggest that polyester stabilizer penetrates into the layers of soil particles and, by inducing effective interaction makes the layers closer or sticks them together. These phenomena make the soil aggregates larger, decrease the water absorbing tendency in soil minerals and improve the plastic characteristics and the shear strength of the soil.

Keywords: Soil stabilization; polyester; unconfined strength; SEM images; XRD analysis; FTIR